人参皂苷 Rh2 和 Rg3 对胃癌细胞增殖和侵袭的影响 $^{\Delta}$

刘元媛¹*,王 欢¹*,周 平²,刘海林¹(1.重庆两江新区第一人民医院药剂科,重庆 401147; 2.重庆医科大学中医药学院,重庆 400010)

中图分类号 R96 文献标志码 A 文章编号 1672-2124(2022)05-0539-05

DOI 10. 14009/j. issn. 1672-2124. 2022. 05. 005

摘 要 目的:探讨人参皂苷 Rh2 和 Rg3 在免疫微环境中通过调节程序性死亡蛋白配体 1(PD-L1) 对胃癌细胞增殖和侵袭的影响。方法:将胃癌细胞 MGC-803 分为三组,即对照组、Rh2+Rg3 组(采用 $40~\mu g/mL$ 混合有人参皂苷 Rh2 和 Rg3 的培养基)和 Rh2+Rg3+PD-L1 组(将转染 PD-L1 载体质粒以 3×10^3 的密度经过质量浓度为 $40~\mu g/mL$ 的人参皂苷 Rh2 和 Rg3 处理)。采用定量反转录聚合酶链反应和蛋白质印迹法检测 PD-L1 的表达;采用 Annexin-V 检测胃癌细胞 MGC-803 的凋亡情况;采用 EdU 方法检测胃癌细胞 MGC-803 的增殖情况;采用 Transwell 检测胃癌细胞 MGC-803 的迁移和侵袭情况。结果:Rh2+Rg3 组的 PD-L1 mRNA 和蛋白的表达水平明显低于对照组,Rh2+Rg3+PD-L1 组的 PD-L1 mRNA 和蛋白的表达水平明显高于 Rh2+Rg3 组,差异均有统计学意义 (P<0.05)。Rh2+Rg3 组的细胞凋亡率明显高于对照组,Rh2+Rg3+PD-L1 组的细胞凋亡率明显高于 Rh2+Rg3 组,差异均有统计学意义 (P<0.05)。Rh2+Rg3 组的细胞克隆数量明显低于对照组,Rh2+Rg3+PD-L1 组的细胞克隆数量明显高于 Rh2+Rg3 组,差异均有统计学意义 (P<0.05)。Rh2+Rg3 组的细胞增殖能力明显高于 Rh2+Rg3 组的细胞增殖能力明显高于 Rh2+Rg3 组,差异均有统计学意义 (P<0.05)。Rh2+Rg3 组的细胞增殖能力明显高于 Rh2+Rg3 组的细胞增殖能力明显高于 Rh2+Rg3 组,差异均有统计学意义 (P<0.05)。Rh2+Rg3 组的细胞增殖能力明显高于 Rh2+Rg3 组的迁移细胞数和侵袭细胞数明显少于对照组,Rh2+Rg3+PD-L1 组的迁移细胞数和侵袭细胞数明显多于 Rh2+Rg3 组,差异均有统计学意义 (P<0.05)。结论:人参皂苷 Rh2 和 Rg3 通过调节 PD-L1 的表达抑制胃癌肿瘤细胞的增殖、迁移和侵袭。

关键词 人参皂苷 Rh2; 人参皂 Rg3; 程序性死亡蛋白配体 1; 胃癌; 增殖

Effects of Ginsenoside Rh2 and Rg3 on the Proliferation and Invasion of Gastric Cancer Cells^Δ LIU Yuanyuan¹, WANG Huan¹, ZHOU Ping², LIU Hailin¹(1. Dept. of Pharmacy, the First People's Hospital of Liangjiang New Area, Chongqing 401147, China; 2. School of Traditional Chinese Medicine, Chongqing Medical University, Chongqing 400010, China)

ABSTRACT OBJECTIVE: To probe into the effects of ginsenoside Rh2 and Rg3 on the proliferation and invasion of gastric cancer cells through regulating programmed death ligand-1 (PD-L1) in the immune microenvironment. METHODS: Gastric cancer cells MGC-803 were divided into three groups, including control group, Rh2+Rg3 group (treated with 40 µg/mL ginsenoside Rh2 and Rg3) and Rh2+Rg3+PD-L1 group (transfected PD-L1 carrier vector was treated with 40 μ g/mL ginsenoside Rh2 and Rg3 at a density of 3×10^3). Quantitative reverse transcription polymerase chain reaction and Western blotting were used to detect the expression of PD-L1; Annexin-V was used to detect the apoptosis of MGC-803; EdU method was used to detect the proliferation of gastric cancer cells MGC-803; Transwell was used to detect the migration and invasion of gastric cancer cells MGC-803. RESULTS: The expression levels of PD-L1 mRNA and protein of the Rh2+Rg3 group were significantly lower than those of the control group, and the expression levels of PD-L1 mRNA and protein of the Rh2+Rg3+PD-L1 group were significantly higher than those of the Rh2+Rg3 group, with statistically significant differences (P<0.05). The cell apoptosis rate of the Rh2+Rg3 group was significantly higher than that of the control group, and the cell apoptosis rate of the Rh2+Rg3+PD-L1 group was significantly lower than that of the Rh2+Rg3 group, with statistically significant differences (P<0.05). The number of cell clones of the Rh2+Rg3 group was significantly less than that of the control group, and the number of cell clones of the Rh2+Rg3+PD-L1 group was significantly more than that of the Rh2+Rg3 group, with statistically significant differences (P<0.05). The cell reproductive capacity of the Rh2+Rg3 group was significantly lower than that of the control group, and the cell reproductive capacity of the Rh2+Rg3+PD-L1 group was significantly higher than that of the Rh2+Rg3 group, with statistically significant differences (P<0.05). The number of migrating and invading cells

Δ基金项目: 全国中医药创新骨干人才项目(No. 国中医药人教函[2019]128 号); 重庆市科技局项目(No. cstc2019jscx-msxmX0096)

^{*} 药师。研究方向: 药学。E-mail: 343299728@ qq. com

[#] 通信作者: 药师。研究方向:药学。E-mail:496615038@ qq. com

of the Rh2+Rg3 group was significantly less than that of the control group, and the number of migrating and invading cells of the Rh2+Rg3+PD-L1 group was significantly more than that of the Rh2+Rg3 group, with statistically significant differences (P<0.05). CONCLUSIONS: Ginsenosides Rh2 and Rg3 can inhibit the proliferation, migration and invasion of gastric cancer cells by regulating the expression of PD-L1.

KEYWORDS Ginsenoside Rh2; Ginsenoside Rg3; Programmed death ligand-1; Gastric cancer; Proliferation

胃癌的发生率在恶性肿瘤中居第 4 位^[1]。胃癌的发生和发展是遗传、坏境和表观遗传等多种因素作用的过程,与抑癌基因的失活、原癌基因的激活以及多种分子水平和基因水平的变化密切相关^[2-3]。对于胃癌的治疗通常以手术和辅助放化疗为主,但对于晚期侵袭和转移的患者治疗效果不佳。人参皂苷 Rh2 和 Rg3 是人参抗肿瘤的主要活性成分^[4]。相关研究结果表明,人参皂苷 Rh2 和 Rg3 可以诱导细胞分化,阻滞细胞周期,抑制转移,诱导凋亡,调节免疫功能等^[5]。程序性死亡蛋白配体 1(PD-L1)为肿瘤免疫逃逸机制的核心调控分子,在适应性免疫抵抗中发挥着重要作用^[6]。慢性感染引发 T细胞持续性活化可促使 PD-L1 大量表达,影响 T细胞的增殖能力和杀伤活性,导致 T淋巴细胞耗竭^[7]。因此,本研究选取人参皂苷 Rh2 和 Rg3 为研究对象,初步探讨其对胃癌细胞系MGC-803 增殖和侵袭的影响,并探讨可能的发生机制。

1 材料

1.1 实验细胞

胃癌细胞系 MGC-803(中国科学院上海细胞典藏库)。

1.2 仪器

CO2 培养箱(美国 Thermo Scientific 公司);高速冷冻离心机(德国 Eppendorff 公司);蛋白质印迹电泳仪、电泳槽(美国 Bio-Rad 公司);-80 ℃低温冰箱(美国 Thertno Scientific 公司);Transwell 小室(美国 Corning 公司)。

1.3 药品与试剂

人参皂苷 Rh2 和人参皂苷 Rg3(吉林大学有机化学教研室,质量分数>98%,批号:201808-1);PD-L1 载体质粒(美国Merck Millipore 公司,批号:NAF1321);RMPIA 1640 培养基、胎牛血清(美国 Gibco 公司,批号:J17008、181221);蛋白裂解液RIPA(上海碧云天生物技术有限公司,批号:9224);胎牛血清(吉玛基因公司,批号:A115121);Trizol 试剂(上海生工生物工程有限公司,批号:180519);显色液、BCA 试剂(美国 TaKaRa 公司,批号:190215、190127);RNA 提取试剂盒(广州拓科达生物科技有限公司);反转录试剂盒(广州威佳科技有限公司,货号:556129);Lipofectamine 2000 转染试剂盒(美国 Invirogen 公司);Annexin V-FTIC/PI 试剂盒(上海碧云天生物技术有限公司)。

2 方法

2.1 细胞的培养及分组处理

于 450 mL 的 RMPIA 1640 培养基中加入浓度为 10%的胎牛血清 50 mL、100 U/mL 青霉素和 100 μ g/mL 链霉素 5 mL,把胃癌细胞 MGC-803 加入培养基中,在 5% CO₂ 培养箱中培养,温度保持在 37 $^{\circ}$ C。处于对数生长期的细胞,经胰酶消化处理,以 3 000 r/min 离心(离心半径 10 cm) 5 min,然后去上清液,培养基重悬细胞后置于培养箱中常规培养,24 h 以后更换液体。

将胃癌细胞 MGC-803 分为对照组、Rh2+Rg3 组和 Rh2+Rg3+PD-L1 组。未经过人参皂苷 Rh2 和 Rg3 处理的 MGC-803 细胞设为对照组。确定药物对细胞的半抑制浓度 (IC_{50}), Rh2+Rg3 组给予 40 μ g/mL 混合有 Rh2 和 Rg3 的培养基,培养细胞 24 h。将转染 PD-L1 载体质粒以 3×10^3 的密度经过质量浓度为 40 μ g/mL 的人参皂苷 Rh2 和 Rg3 处理的 MGC-803 细胞设为 Rh2+Rg3+PD-L1 组,具体转染操作参照 Lipofectamine 2000 转染试剂盒的操作说明书。

2. 2 细胞计数试剂盒 8 (CCK-8) 法检测胃癌细胞 MGC-803 的增殖情况

采用 CCK-8 法检测胃癌细胞 MGC-803 的增殖情况,观察 Rh2+Rg3 和 PD-L1 对胃癌细胞增殖的调节作用。加入 $40~\mu g/mL$ 的人参皂苷 Rh2 和 Rg3 或者 PD-L1 载体质粒以 3×10^3 的密度转染细胞,接种在 96 孔板上,并在 37 % 和 5% CO₂ 中孵育。每隔 24 h,向每个孔中加入 CCK-8 溶液,至第 5日结束,并使用酶标仪测定 450 nm 波长下的细胞数。最终,生成 5 d 的细胞生长曲线。

2.3 定量反转录聚合酶链反应(qRT-PCR)检测胃癌细胞 MGC-803 中 PD-L1 mRNA 表达

各组的胃癌细胞 MGC-803 转染 48 h 后,进行收集,采用 Trizol 法从细胞中提取总 RNA,利用反转录试剂盒从上述 RNA 反转录 cDNA,最后利用由武汉巴菲尔公司合成 PD-L1 引物和 GAPDH 引物在应用生物系统 7500 实时 PCR 系统上进行 PCR 实验,反应条件为 95 ℃预变性 4 min,90 ℃变性 20 s,45 ℃退火 20 s,60 ℃延伸 20 s,共设置 45 个循环。PD-L1 引物序列:5′-ACCGGTTTACTGTCGCAT-3′(正向)和 3′-CCTCTGCTCTGT GGGC-5′(反向);GAPDH 引物序列:5′-GATGAACTCCCA CAGTGC-3′(正向)和 5′-TCTGAGAGGC AGGGATG-3′(反向),按照试剂盒的使用说明书进行严格操作,采用 ABI 7500 实时 PCR 进行测量,采用 $2^{-\Delta\Delta Ct}$ 法计算 PD-L1 的相对表达量,以 GAPDH 为内参。

2.4 蛋白质印迹法检测胃癌细胞 MGC-803 中 PD-L1 蛋白表达

各组的胃癌细胞 MGC-803 转染 48 h 后,进行收集,通过加入 RIPA 裂解缓冲液进行裂解,用 10%十二烷基硫酸钠聚丙烯酰胺凝胶电泳(SDS-PAGE)分离蛋白,然后转移到聚偏二氟乙烯(PVDF)膜上。转膜完全后拿出 PVDF 膜,5% 脱脂奶粉中封闭 1 h,PD-L1(1:500 稀释)一抗孵育,4℃冰箱中放置一夜,HRP 二抗(1:500 稀释)避光孵育 1 h,TBST 洗 3次,滴加ECL 发光液,凝胶成像仪拍照显影。

2.5 Annexin-V 检测胃癌细胞 MGC-803 的凋亡情况

将各组的胃癌细胞 MGC-803 接种于 6 孔板中 72 h 后,进行细胞收集,洗涂、固定和透化,按照 Annexin V-FTIC/PI 试剂 盒说明书的操作步骤进行细胞染色,应用流式细胞仪检测,用

Flow.Jo 软件处理数据。

2.6 克隆形成实验

将各组的胃癌细胞 MGC-803 接种于琼脂覆盖的培养基的 96 孔板上,细胞在 37 $^{\circ}$ C的 CO₂ 培养箱中培养 72 h,12 d 后,使用 Leica CTR MIC 显微镜捕获每个孔中胃癌细胞的克隆图像,并使用 Image J 1.49 软件量化克隆数量。

2.7 Transwell 检测胃癌细胞 MGC-803 的迁移情况

将 Transwell 小室取出, 弃液体, PBS 漂洗 5 min, 再用 4% 多聚甲醛固定 15 min, 在胎牛血清的 RPMI-1640 培养基中培养 24 h,将 100 μ L 细胞 ($1\times10^5/\text{mL}$)接种至 24 孔板中, 然后放入含有 20% FBS 的 RPMI-1640 600 μ L, 在 37 ∞ 、5% CO₂ 培养箱中孵育, 用棉签轻轻擦去上室未迁移的细胞或未侵袭的细胞,迁移的细胞或入侵细胞用 70%甲醛溶液固定 30 min, 并使用 0.1% 的结晶紫染色 20 min, 使用显微镜捕获每个孔中迁移的细胞的图像。

2.8 Transwell 检测胃癌细胞 MGC-803 的侵袭情况

Matrigel 胶稀释,取 50 μL 加入 Transwell 上室内,37 ℃培养箱中过夜,将 Matrigel 胶吸出,PBS 冲洗,将各组的胃癌细胞 MGC-803 以 1×10^4 /mL 接种于上室,孵育 24 h,加入无血清培养液,下室加入含 20% FBS 培养液,孵育 48 h,去除 Transwell 小室内的培养液,PBS 冲洗,4%多聚甲醛固定,1%结晶紫染色侵袭的细胞,室温下放置 20 min 后,PBS 冲洗,选取 5 个视野,倒置显微镜下观察,比较侵袭的细胞数目。

2.9 统计学方法

采用 SPSS 24.0 软件进行统计分析,符合正态分布的连续变量采用 $\bar{x}\pm s$ 表达,多组间对比采用单因素方差分析,采用 LSD-t 检验比较两组间的差异,P<0.05 为差异有统计学意义。

3 结果

3.1 各组胃癌细胞 MGC-803 增殖能力情况

第1日,三组胃癌细胞 MGC-803 的增殖能力无明显变化,差异无统计学意义(P>0.05);第2—3日,Rh2+Rg3 组的细胞增殖能力明显低于对照组,差异有统计学意义(P<0.05);第4—5日,Rh2+Rg3 组的细胞增殖能力明显低于对照组,Rh2+Rg3+PD-L1 的细胞增殖能力明显高于 Rh2+Rg3 组,差异均有统计学意义(P<0.05),见图1。

3.2 各组胃癌细胞 MGC-803 中 PD-L1 的表达情况

Rh2+Rg3 组胃癌细胞 MGC-803 中 PD-L1 mRNA 和蛋白的 表达明显低于对照组, Rh2+Rg3+PD-L1 组的 PD-L1 mRNA 和蛋白的表达明显高于 Rh2+Rg3 组, 差异均有统计学意义 (P<0.05), 见表 1、图 2。

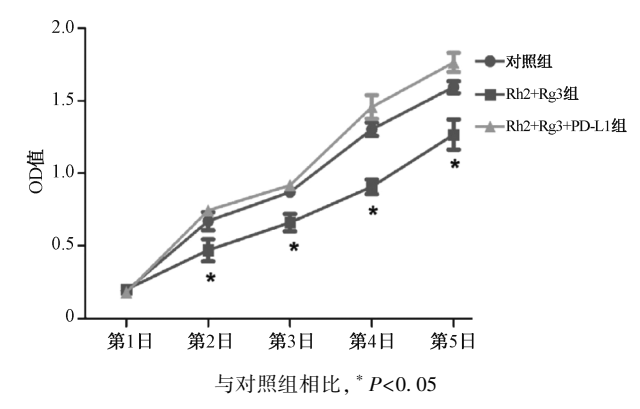
表 1 人参皂苷 Rh2+Rg3 对胃癌细胞 MGC-803 中 PD-L1 表达的影响(x±s,n=9)

Tab 1 Effect of ginsenoside Rh2+Rg3 on the expression of PD-L1 in gastric cancer cell MGC-803($\bar{x}\pm s$, n=9)

; ,		
组别	PD-L1 mRNA/ $2^{-\Delta\Delta Ct}$	PD-L1 蛋白/kDa
对照组	1. 04±0. 29	1. 19±0. 32
Rh2+Rg3组	0. 43±0. 07 *	0.62±0.08 *
Rh2+Rg3+PD-L1 组	2. 05±0. 59 * #	1.97±0.46 * #

注:与对照组相比,*P<0.05;与Rh2+Rg3组相比,*P<0.05

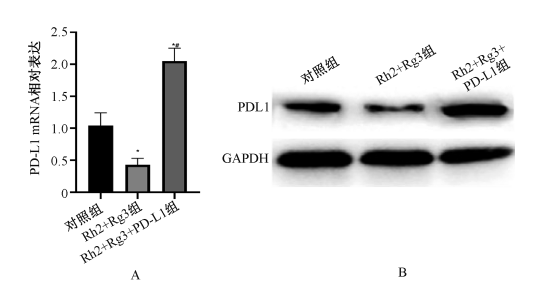
Note: vs. the control group, *P<0.05; vs. the Rh2+Rg3 group, *P<0.05



vs. the control group, $^*P < 0.05$

图 1 人参皂苷 Rh2+Rg3 通过抑制 PD-L1 对胃癌细胞 MGC-803 增殖能力的影响(n=9)

Fig 1 Effect of ginsenoside Rh2+Rg3 on the proliferation capacity of gastric cancer cell MGC-803 by inhibiting PD-L1 (n=9)



A. PD-L1 mRNA; B. PD-L1 蛋白;与对照组相比,*P<0.05; 与 Rh2+Rg3 组相比,*P<0.05

A. PD-L1 mRNA; B. PD-L1 protein; vs. the control group,

* P<0.05; vs. the Rh2+Rg3 group, #P<0.05

图 2 人参皂苷 Rh2+Rg3 对胃癌细胞 MGC-803 中 PD-L1 表达的影响

Fig 2 Effect of ginsenoside Rh2+Rg3 on the expression of PD-L1 in gastric cancer cell MGC-803

3.3 各组胃癌细胞 MGC-803 的凋亡情况

Rh2+Rg3 组胃癌细胞 MGC-803 的凋亡率明显高于对照组,Rh2+Rg3+PD-L1 组的细胞凋亡率明显低于 Rh2+Rg3 组, 差异均有统计学意义(P<0.05),见表 2、图 3。

表 2 人参皂苷 Rh2+Rg3 通过抑制 PD-L1 对胃癌细胞 MGC-803 凋亡的影响($\bar{x}\pm s$,n=9)

Tab 2 Effects of ginsenoside Rh2+Rg3 on the apoptosis of gastric cancer cell MGC-803 by inhibiting PD-L1 ($\bar{x}\pm s$, n=9)

Superior contract	000 0J mmoning 12 21 (w=0, w >
组别 细胞凋亡率/%	
对照组	27. 68±3. 79
Rh2+Rg3 组	53. 51±5. 35 *
Rh2+Rg3+PD-L1 组	15. 23±2. 97 * #

3.4 各组胃癌细胞 MGC-803 克隆形成情况

Rh2+Rg3 组胃癌细胞 MGC-803 克隆数量明显低于对照组, Rh2+Rg3+PD-L1 组的细胞克隆数量明显高于 Rh2+Rg3 组, 差异均有统计学意义(P<0.05),见表 3、图 4。

表 3 人参皂苷 Rh2+Rg3 通过抑制 PD-L1 对胃癌细胞 MGC-803 克隆形成的影响(x±s,n=9)

Tab 3 Effect of ginsenoside Rh2+Rg3 on clone formation of gastric cancer cell MGC-803 by inhibiting PD-L1 ($\bar{x}\pm s$, n=9)

gastric caricer	cent fride oos by inhibiting 1D E1 $(x=5,n=7)$
组别	细胞克隆数量/个
对照组	163 ±11
Rh2+Rg3组	124 ±6 *
Rh2+Rg3+PD-L1 组	186 ±12 * #

注:与对照组相比,*P<0.05;与Rh2+Rg3组相比,*P<0.05

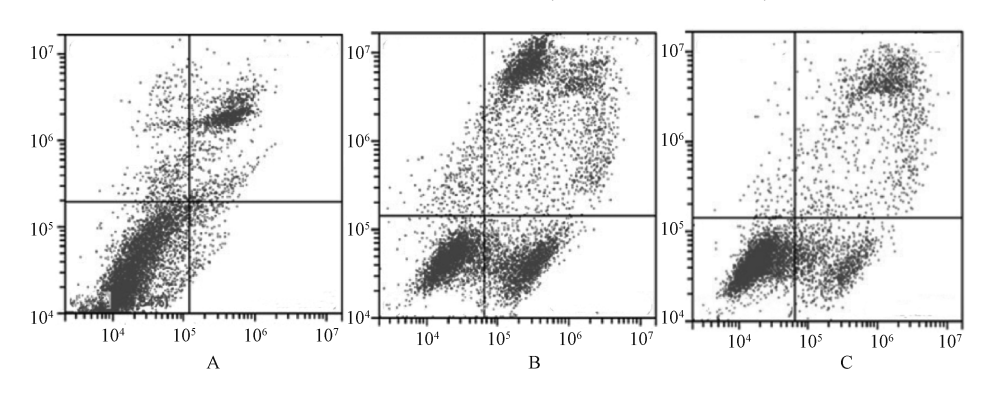
Note: vs. the control group, *P<0.05; vs. the Rh2+Rg3 group, *P<0.05

3.5 各组胃癌细胞 MGC-803 的迁移和侵袭情况

Rh2+Rg3 组胃癌细胞 MGC-803 的迁移细胞数和侵袭细胞数明显低于对照组, Rh2+Rg3+ PD-L1 组的迁移细胞数和侵袭细胞数明显高于 Rh2+Rg3 组, 差异均有统计学意义 (P< 0.05), 见表 4、图 5。

4 讨论

人参皂苷 Rh2 和 Rg3 是人参抗肿瘤的活性成分。相关研究结果表明,人参皂苷 Rh2 和 Rg3 可以抑制肿瘤细胞的增殖,诱导细胞分化和肿瘤细胞的凋亡,抑制肿瘤细胞的侵袭和转移,逆转肿瘤细胞耐药,抑制肿瘤血管的形成^[8]。人参皂苷

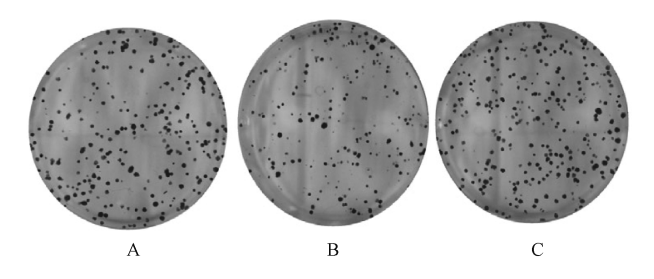


A. 对照组; B. Rh2+Rg3 组; C. Rh2+Rg3+PD-L1 组

A. control group; B. Rh2+Rg3 group; C. Rh2+Rg3+PD-L1 group

图 3 人参皂苷 Rh2+Rg3 通过抑制 PD-L1 对胃癌细胞 MGC-803 凋亡的影响

Fig 3 Effect of ginsenoside Rh2+Rg3 on the apoptosis of gastric cancer cell MGC-803 by inhibiting PD-L1



A. 对照组; B. Rh2+Rg3 组; C. Rh2+Rg3+PD-L1 组
A. control group; B. Rh2+Rg3 group; C. Rh2+Rg3+PD-L1 group
图 4 人参皂苷 Rh2+Rg3 通过抑制 PD-L1 对胃癌细胞
MGC-803 克隆形成的影响

Fig 4 Effects of ginsenoside Rh2+Rg3 on clone formation of gastric cancer cell MGC-803 by inhibiting PD-L1

表 4 人参皂苷 Rh2+Rg3 通过抑制 PD-L1 对胃癌细胞 MGC-803 迁移和侵袭的影响($\bar{x}\pm s, n=9$)

Tab 4 Effects of ginsenoside Rh2+Rg3 on the migration and invasion of gastric cancer cell MGC-803 by inhibiting PD-L1 ($\bar{x}\pm s$, n=9)

(, , , , , , , , , , , , , , , ,				
组别	迁移细胞数/个	侵袭细胞数/个		
对照组	116 ±3	71 ±3		
Rh2+Rg3组	73 ±2 *	53 ±1 *		
Rh2+Rg3+PD-L1 组	136 ±5 * #	85 ±4 * #		

注:与对照组相比,*P<0.05;与Rh2+Rg3组相比,*P<0.05

Note; vs. the control group, *P<0.05; vs. the Rh2+Rg3 group, *P<0.05

Rh2 和 Rg3 已被阐明在肿瘤的发生中发挥着主要作用^[9]。本研究结果发现,人参皂苷 Rh2 和 Rg3 抑制了胃癌细胞的增殖、

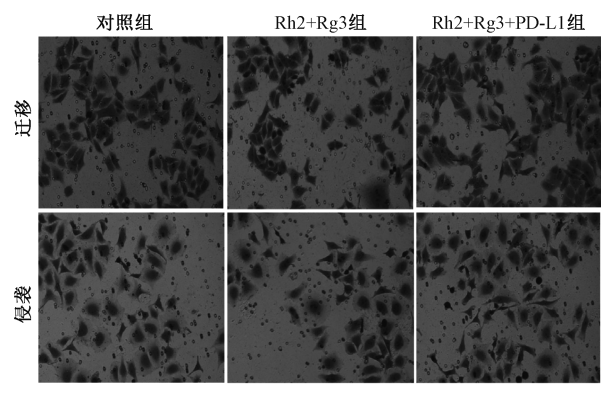


图 5 人参皂苷 Rh2+Rg3 通过抑制 PD-L1 对胃癌细胞 MGC-803 迁移和侵袭的影响

Fig 5 Effects of ginsenoside Rh2+Rg3 on the migration and invasion of gastric cancer cell MGC-803 by inhibiting PD-L1

迁移和侵袭,促进了胃癌细胞凋亡,而大量 PD-L1 的加入则减弱了上述作用,表明人参皂苷 Rh2 和 Rg3 在胃癌中起抑癌作用,而 PD-L1 为肿瘤启动因子。人参皂苷 Rh2、Rg3 和 PD-L1 相互作用的研究,为了解人参皂苷 Rh2、Rg3 和 PD-L1 在胃癌中的作用机制提供了新的视角。

人参皂苷 Rg3 属于二醇皂苷,是人参中稀有的皂苷,具有抗炎、抗肿瘤、增强免疫能力和抑制血管生成等作用^[10]。其与人参皂苷 Rh2 共同作用,可增强药效。根据本研究结果,人参皂苷 Rh2 和 Rg3 可能是胃癌患者治疗药物的潜在候选。PD-L1 在维持正常机体保护性免疫和免疫耐受的平衡中起着

至关重要的作用,PD-L1 的表达上调是通过细胞内多种信号 传导涂径进行调节的,在肿瘤微环境免疫效应发挥着调控作 用。在肿瘤微环境中,PD-L1 表达上调,从而激活程序性死亡 蛋白-1 (PD-1)/PD-L1 通路,介导肿瘤的免疫逃逸。 PD-1/PD-L1 是免疫抑制效应的调控因子,在胃癌方面已得到 应用[11]。本研究以人参皂苷 Rh2 和 Rg3 为研究对象,发现 其能够抑制胃癌 MGC-803 细胞中 PD-L1 mRNA 和蛋白的表 达。本研究通过 PD-L1 载体质粒转染人参皂苷 Rh2 和 Rg3 处理的胃癌 MGC-803 细胞,发现 PD-L1 能够促进胃癌 MGC-803 细胞的增殖、迁移和侵袭,促进克隆形成,抑制 MGC-803 细胞凋亡。本研究结果说明 PD-L1 是肿瘤的启动 因子,进一步证实了 PD-L1 对肿瘤具有促进作用。有研究结 果表明, PD-L1 抗体可以抑制免疫细胞和肿瘤细胞之间的相 互作用,从而维护免疫细胞对肿瘤细胞的细胞毒性[12-13]。本 研究中,人参皂苷 Rh2 和 Rg3 能够明显降低胃癌 MGC-803 细 胞中 PD-L1 mRNA 和蛋白的表达,即人参皂苷 Rh2 和 Rg3 能 够显著抑制肿瘤的启动因子,阻止肿瘤的发生和发展。相关 研究结果表明,人参皂苷 Rh2 和 Rg3 能对喉鳞癌、胃癌和肝 癌等多种肿瘤细胞发挥抗肿瘤作用[14-15]。虽然目前化疗仍 是主要手段,但化疗对正常细胞也会造成一定的影响。而人 参皂苷 Rh2 和 Rg3 属于天然药物,不仅具有较强的抗肿瘤活 性,还能够起到抗肿瘤信号通路的作用[16-17]。有研究结果认 为,PD-L1 与胃癌的发生有关,可能是胃癌患者临床诊断、免 疫治疗和预后的有效靶点[18]。特别值得一提的是,PD-L1单 克隆抗体的临床试验已经顺利进行,并表现出良好的抗肿瘤 活性[19-20]。本研究还证实了 PD-L1 的肿瘤促进作用。

综上所述,人参皂苷 Rh2 和 Rg3 通过调节 PD-L1 的表达,抑制胃癌细胞的增殖、迁移和侵袭。提示 PD-L1 可能是胃癌患者诊断、治疗和预后的潜在靶点。

参考文献

- [1] DU H Z, LIU Y, CHEN X D, et al. DT-13 synergistically potentiates the sensitivity of gastric cancer cells to topotecan via cell cycle arrest in vitro and in vivo [J]. Eur J Pharmacol, 2018, 818: 124-131.
- [2] WANG Y, LV Y, LIU T S, et al. Cordycepin suppresses cell proliferation and migration by targeting CLEC2 in human gastric cancer cells via Akt signaling pathway[J]. Life Sci, 2019, 223: 110-119.
- [3] MIWAT, KANDAM, UMEDAS, et al. Homeobox C10 influences on the malignant phenotype of gastric cancer cell lines and its elevated expression positively correlates with recurrence and poor survival[J]. Ann Surg Oncol, 2019, 26(5): 1535-1543.
- [4] CONG Z Y, ZHAO Q, YANG B, et al. Ginsenoside Rh3 inhibits proliferation and induces apoptosis of colorectal cancer cells [J]. Pharmacology, 2019, 105(5/6): 329-338.
- [5] HU Y B, WANG N, YAN X C, et al. Ginsenoside Re impacts on biotransformation products of ginsenoside Rb1 by *Cellulosimicrobium*

- cellulans sp. 21 and its mechanisms[J]. Process Biochem, 2019, 77; 57-62.
- [6] TONG G L, CHENG B R, LI J Z, et al. MACC1 regulates PDL1 expression and tumor immunity through the c-Met/AKT/mTOR pathway in gastric cancer cells [J]. Cancer Med, 2019, 8 (16): 7044-7054.
- [7] 丁思思, 黄莉莉, 梁含思,等. PD-L1 在胃癌患者手术前后外周血 T细胞和单核细胞上的表达及意义[J]. 中国免疫学杂志, 2018, 34(5):718-722.
- [8] 郭奕维, 郭秀臣, 张静波, 等. 人参皂苷 Rg3 增强 PD-1 抑制剂 对弥漫大 B 细胞淋巴瘤免疫治疗作用的体外研究[J]. 中医药学报, 2018, 46(5): 24-29.
- [9] 陈芳玲,楼雅楠,孔祥倩,等.三萜类化合物抗肿瘤及其作用 机制的研究进展[J].中医药导报,2018,24(17):45-49.
- [10] HOU J G, XUE J J, WANG Z, et al. Ginsenoside Rg3 and Rh2 protect trimethyltin-induced neurotoxicity via prevention on neuronal apoptosis and neuroinflammation [J]. Phytother Res, 2018, 32 (12): 2531-2540.
- [11] LI J, ZHANG X H, BEI S H, et al. PD-1/PD-L1 antagonists in gastric cancer: current studies and perspectives [J]. World J Meta Anal, 2019, 7(3): 101-109.
- [12] HASANPOOR Z, MOSTAFAIE A, NIKOKAR I, et al. Curcuminhuman serum albumin nanoparticles decorated with PDL1 binding peptide for targeting PDL1-expressing breast cancer cells[J]. Int J Biol Macromol, 2020, 159: 137-153.
- [13] SONG M J, CHEN X F, WANG L P, et al. Future of anti-PD-1/PD-L1 applications; combinations with other therapeutic regimens [J]. Chin J Cancer Res., 2018, 30(2); 157-172.
- [14] 田君海,米楠楠,孔祥苓,等. 低氧条件下人参皂苷 Rg3 对人 喉鳞癌细胞分泌性 VEGF 的影响[J]. 疑难病杂志,2018,17 (2):180-183,封3.
- [15] 石燕燕,李树才, 孙军. 人参皂苷 Rg3 通过 PI3K/AKT 信号系 统调控 CaM 基因表达促进胃癌 BGC-823 细胞的凋亡[J]. 中国 肿瘤生物治疗杂志, 2018, 25(6): 590-594.
- [16] LI L, NI J Y, LI M, et al. Ginsenoside Rg3 micelles mitigate doxorubicin-induced cardiotoxicity and enhance its anticancer efficacy [J]. Drug Deliv, 2017, 24(1): 1617-1630.
- [17] 乔雪涵,岳丽玲,朱文斌. 人参皂苷 Rg3 的抗肿瘤作用研究现状[J]. 中国临床药理学杂志, 2021, 37(10): 1272-1276.
- [18] RENS X, AMAR N, YU H, et al. Abstract 3636; the immune checkpoint, HVEM, is associated with PDL1 expression in lung cancer cell lines [J]. Cancer Res, 2018, 78 (13_Supplement); 3636.
- [19] 王倩蓉,李宝生. PD-1/PD-L1 单抗联合放疗治疗实体瘤研究进展[J]. 中华放射肿瘤学杂志,2016,25(12):1375-1378.
- [20] 赵文华,于起涛. 抗 PD-1/PD-L1 单抗在非小细胞肺癌治疗中的研究进展[J]. 广西医科大学学报, 2016, 33(3):553-557. (收稿日期:2021-08-15 修回日期:2022-01-26)